

農業土木試験場 正会員 島田正志

[1] 昨年度、貯水池・単管路システムの Valve Stroking による水撃制御の解析法を示した。^{*}境界条件を一般化した非粘性解より 管内流速を時間線型に変化させる制御が 最大水撃圧を最小化する意味である種の最適制御を与える事を示した。又、解析の妥当性が実験的にも検証された。^{**} 本報告では、貯水池・複合管システムについて同様の解析法を示す。

問題

系の流量を Q_0 から Q_1 へ、Valve 操作時間 T_d を変更しがつ、完全な定常状態を実現する。この時、Valve の操作と最大水撃圧を求めたい。なお、過渡現象は、貯水池入口流量が時間線型に変化するよう制御される。

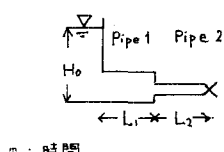
解法

pipe 1 は、すでに得られた解を記述される。この解の Junction の表現を Pipe 2 の上流境界条件として、非粘性解および抵抗係数を含む微小パラメータによる接頭部解を求める。

解の分岐

単管路システム

$$(T_e - T_b) / \left(\frac{2L}{\alpha} \right) \geq 2 \quad \text{と } 2 \text{ の TYPE}$$



複合管路システム

図2に示すように 2つ
のパラメータ $\beta = (T_e - T_b) / (2L/\alpha)$ 、
 $\beta = (L_2^2) / (L_1^2)$ によって、12個
のTYPEに分岐する。

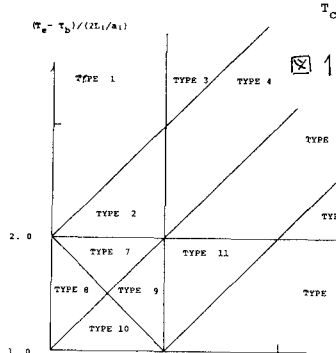


図2

SERIES PIPE SYSTEM FLOW PATTERN CLASSIFICATION

解析においては、流れのTYPEを分類し、特性直線の影響領域を明確にすることが重要である。例えば図3に、図2のTYPE 1の流れの特性線図を示す。

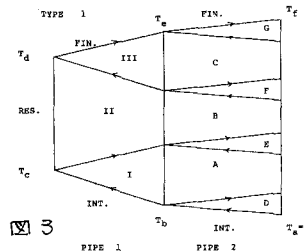


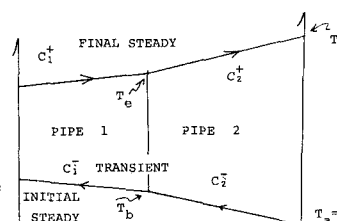
図3

図4には、特性直線の影響領域により分類した。Pipe 1, 2 の流れの領域区分を示す。例えは Pipe 2 の AREA F は、正の特性線 C^+ (Junction IIの部分) と負の特性線 C^- (Junction IIIの部分) であり、解が規定される。

PIPE 1	C^+	C^-
AREA I	INT.	RES.
II	RES.	INT.
III	RES.	FIN.
VI	INT.	FIN.
RES.	RESERVOIR	

PIPE 2	C^+	C^-
AREA I	INT.	INT.
A	I	I
B	II	II
C	III	III
D	INT.	I
E	I	II
F	II	III
G	III	FIN.
H	I	III
I	INT.	II
J	II	FIN.
K	INT.	III
L	I	FIN.
M	I	VI
N	III	VI
O	VI	VI
P	INT.	VI
Q	VI	FIN.
R	INT.	FIN.
19	FIN.	FIN.

図4.



2. 解析

基礎方程式 (pipe 2)

$$\nabla T + g H_x + \frac{f_2}{2D_2} \nabla |V| = 0 \quad (1)$$

$$H_T + (g/2) |V|^2 = 0 \quad (2)$$

無次元化した特性形式 (3), (4).

$$C^+ : dx/dt = 2, \quad C^- : dx/dt = -2 \quad .$$

$$C^+ : dh + B_2 dV + 2 h f_2 V |V| dt = 0 \quad (3)$$

$$C^- : -dh + B_2 dV + 2 h f_2 V |V| dt = 0 \quad (4)$$

$$t = T / (2L/\alpha), \quad x = X/L_2, \quad h = H/H_0, \quad V = V/V_0 \quad .$$

$B_2 = \alpha_2 V_0 / (g H_0)$, $f_2 = f_2 \cdot \frac{V_0^2 L_2}{2 g D_2 H_0}$. suffix 2 は Pipe 2 の量を示す。記号は、文献^{*}を参照のこと。

$$U = \tilde{U} + h f_2 \tilde{V} + O(h f_2^2) \quad (5)$$

$$h = \bar{h} + h f_2 \tilde{h} + O(h f_2^2) \quad (6)$$

\bar{U} , \bar{h} は、非粘性解、 \tilde{U} , \tilde{h} は、 h_{f2} に関する擾動解である。

① 非粘性解。

初期条件: $\bar{U} = 1$, $\bar{h} = 1$ ($x = -2$ 以上)

最終条件: $\bar{U} = U_2$, $\bar{h} = 1$ ($x = 2(t - t_c)$ 以上)

境界条件: pipe 1 の非粘性解を用いる。 $(x = -1)$

② 摰動解

初期条件: $\tilde{U} = 0$, $\tilde{h} = -h_{f1} - h_{f2}(1+x)$

最終条件: $\tilde{U} = 0$,

$$\tilde{h} = -h_{f1} U_{c1}^2 - h_{f2} U_{c2}^2(1+x)$$

境界条件: pipe 1 の擾動解を用いる。

以上の条件より 解が得られる。次に、図 2 の TYPE 1, 2, 3, 4 の最大水頭圧を示しておく。 t_M は、その発生時刻。 h_M が最大水頭圧である。

TYPE 2, 4

$$t_M = \alpha + 1, \quad \alpha = 1/\beta, \quad t_c = (T e^{-T_B}) / (2L_1/\alpha_1)$$

$$\begin{aligned} h_M &= 1 + \frac{B_1 + B_2}{4} (1 - vc_1) + 2B_2 R (1 - \frac{1}{\alpha}) \\ &+ (1 - \frac{B_2}{B_1}) [\frac{(1 + m/\alpha)^3 - (1 + vc_1)}{2} + \frac{m}{2\alpha}]^2 \frac{2 + \beta - tc}{2} (h_{f2}/2) \\ &- (1 - \frac{B_2}{B_1}) [\frac{2 + \beta - tc}{2} vc_1^2 + \frac{vc_1^3}{3m}] (h_{f1}/2) \\ &+ [\frac{B_2}{B_1} (\frac{m}{2} + \frac{m^2}{4}) - (\frac{m^2}{3} + m + 1)] (h_{f1}/2) + \frac{B_2}{3mB_1} (\frac{1 + vc_1}{2})^2 h_{f2} \\ &- \frac{1}{m} (vBp(P5))^2 vBp(\alpha + \frac{1}{2})^3 + vFm(P6)^3 - vFm(\alpha + 1)^3 \\ &+ (\frac{vFp(\alpha + 1)^3 - vFp(P5)^3}{4R} + \frac{vCm(\alpha + \frac{3}{2})^3 - vCm(P6)}{4S}) \frac{\alpha}{3} h_{f2} \end{aligned}$$

$$P5 = \frac{1}{2}(\alpha t c + 1), \quad P6 = \frac{1}{2}(\alpha t c + 2), \quad R = \frac{m}{8}(1 - \frac{B_1}{B_2}), \quad S = \frac{m}{8}(1 + \frac{B_1}{B_2})$$

$$vBp(\cdot) = \frac{m}{\alpha}(\cdot) + 1 + \frac{m}{2}(1 + \beta), \quad vFp(\cdot) = \frac{4R}{\alpha}(\cdot) + 1 + \frac{B_1}{4B_2} \frac{(vc_1 - 1)}{2} - 2R(1 + \beta)$$

$$vCm(\cdot) = \frac{4S}{\alpha}(\cdot) + \frac{1 + vc_1}{2} - 4S(1 + \beta) + 2R\beta$$

$$vFm(\cdot) = \frac{m}{\alpha}(\cdot) + 1 + \frac{B_1}{4B_2}(vc_1 - 1) - 2(1 + \beta)(R + 2S)$$

TYPE 1, 3

$$t_M = \alpha(t_c - 1)$$

$$\begin{aligned} h_M &= 1 - \frac{m}{2} B_2 (\frac{B_1 + \frac{1}{\alpha}}{B_2}) - (\frac{m^2}{4\alpha} - \frac{B_2}{\beta} - \frac{m}{\alpha} vc_1 + \frac{m^2}{2\alpha^2} + \frac{m^2}{2}) h_{f1} \\ &- (3(vc_1 - \frac{m^2}{2}) - \frac{3m}{\alpha} vc_1 - \frac{m^2}{2}) h_{f2}/3 \end{aligned}$$

③ 解析結果の検証。

解析結果がすべての TYPE の複合管に対しても、数値解析によって検証された。最大水頭圧比較の例を図 5 に示す。

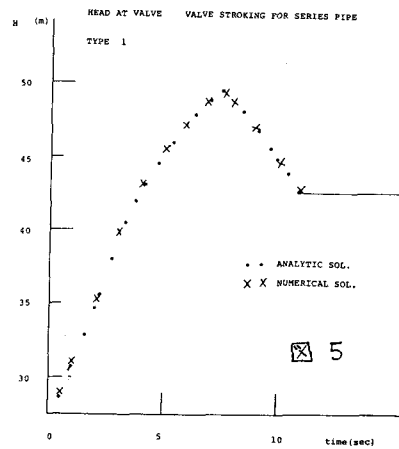


図 5

$$L_1 = 1219 \text{ m}, \quad Q_1 = 1280 \text{ m}^3/\text{s}, \quad D_1 = 0.0241 \text{ m}, \quad f_1 = 0.035$$

$$L_2 = 914 \text{ m}, \quad Q_2 = 1219 \text{ m}^3/\text{s}, \quad D_2 = 0.0254 \text{ m}, \quad f_2 = 0.032$$

$$t_c = 5.0, \quad U_{c1} = 0.091, \quad U_{c2} = 0.325 \text{ m/s}, \quad H_0 = 42.7 \text{ m}$$

実験値との比較が図 6 に示される。

HEAD AT VALVE VALVE STROKING FOR SERIES PIPE

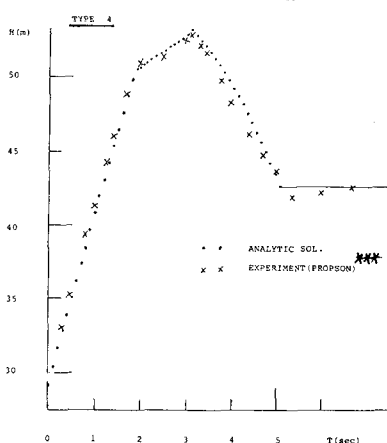


図 6

* Valve Stroking の近似解法とその評価
(1981年土木年報)

** 単管路システムの Valve Stroking (1982. 土木年報)

*** Valve Stroking to Control transient flows in liquid piping systems
(1990. Ph.D. Civil Eng. Univ. of Michigan, Ann Arbor)